

Э. Шультце, М. В. Любичев, А. Д. Козак

ДЕТСКОЕ ПОГРЕБЕНИЕ НА МОГИЛЬНИКЕ ЧЕРНЯХОВСКОЙ КУЛЬТУРЫ ВОЙТЕНКИ

Отдельная публикация материалов детского погр. 231 могильника Войтенки с археологическим и антропологическим анализом является важной, ибо этот комплекс отличается особенностями инвентаря, позволяющих исследовать социальное положение ребенка и его семьи.

Ключевые слова: поздне римское время, черняховская культура, детское погребение, антропологическое исследование, патологические признаки.

Введение. Детские погребения на могильниках черняховской культуры уже более пятнадцати лет являются предметом специального изучения. В 2004 г. Э. Шультце на материалах могильников Гавриловка, Коблево, Лазо / Слободзия Кишкэрень, Оселивка, Ружичанка, Журавка-Ольшанская проанализировала детские погребения в таких аспектах как: а) соотношение с общим количеством погребенных на могильнике; б) особенности размещения на площади могильника; в) соотношение с глубиной и размерами погребений взрослых; г) особенности погребальной конструкции и комплекса инвентаря. Сделан вывод об ограниченности выборки детских погребений, связанной, в том числе, с трудностью определений погребений младенцев и новорожденных. Был поставлен вопрос связи социального статуса семьи с инвентарем погребения ребенка (Schultze 2004).

Публикация О. В. Петраускаса погребения 132 могильника Великая Бугаевка содержит раздел о социальном статусе погребенной девочки (Петраускас 2004, с. 179—181). Исследователь считает, что появление «богатых» детских погребений на финальном этапе черняховской культуры является закономерным результатом постепенной социальной стратификации общества.

© Э. ШУЛЬТЦЕ, М. В. ЛЮБИЧЕВ, А. Д. КОЗАК, 2020

За столетие существования «бугаевской» общины семьи смогли накопить определенные материальные ценности и власть в общине. Наделение погребенного ребенка атрибутами, которыми семья владела в реальной жизни, свидетельствует о формировании института наследования в черняховском обществе на финальном этапе его существования (Петраускас 2004, с. 181).

Количество известных детских погребений на могильниках культуры Черняхов / Синтана-де-Муреш постоянно увеличивается в связи с дальнейшим исследованием самих могильников. Проблема их анализа остается актуальной в том числе и в направлении социальной реконструкции носителей культуры.

Описание погребения 231. На могильнике Войтенки¹ открыто 15 погребений детей

1. Могильник является частью археологического комплекса поздне римского времени — начала эпохи Великого переселения народов у с. Войтенки (Валковский р-н, Харьковская обл., Украина) в области днепро-донецкого водораздела на реке шестого порядка днепро-донецкой системы, относится к поселению с участками и комплексами ступеней С1b—С2 и С3—D1 (рис. 1: 1). В ходе совместных исследований Германско-Славянской археологической экспедиции Харьковского национального университета имени В. Н. Каразина и Евразийского отдела Германского археологического института в 2005—2019 гг. открыто 241 погребение (119 ингумаций, 121 кремация, один кенотаф), относящихся к ступеням С3—D1 в системе Я. Тейрала (Tejral 1992, S. 234—246) или к фазам «В»—«Е» горизонта «классической» черняховской культуры в области днепро-донецкой лесостепи (Любичев 2019, с. 32—36). Исследование могильника продолжается, некоторые его комплексы опубликованы (напр.: Любичев 2009; Lyubichev 2013; Schultze, Lyubichev 2017).

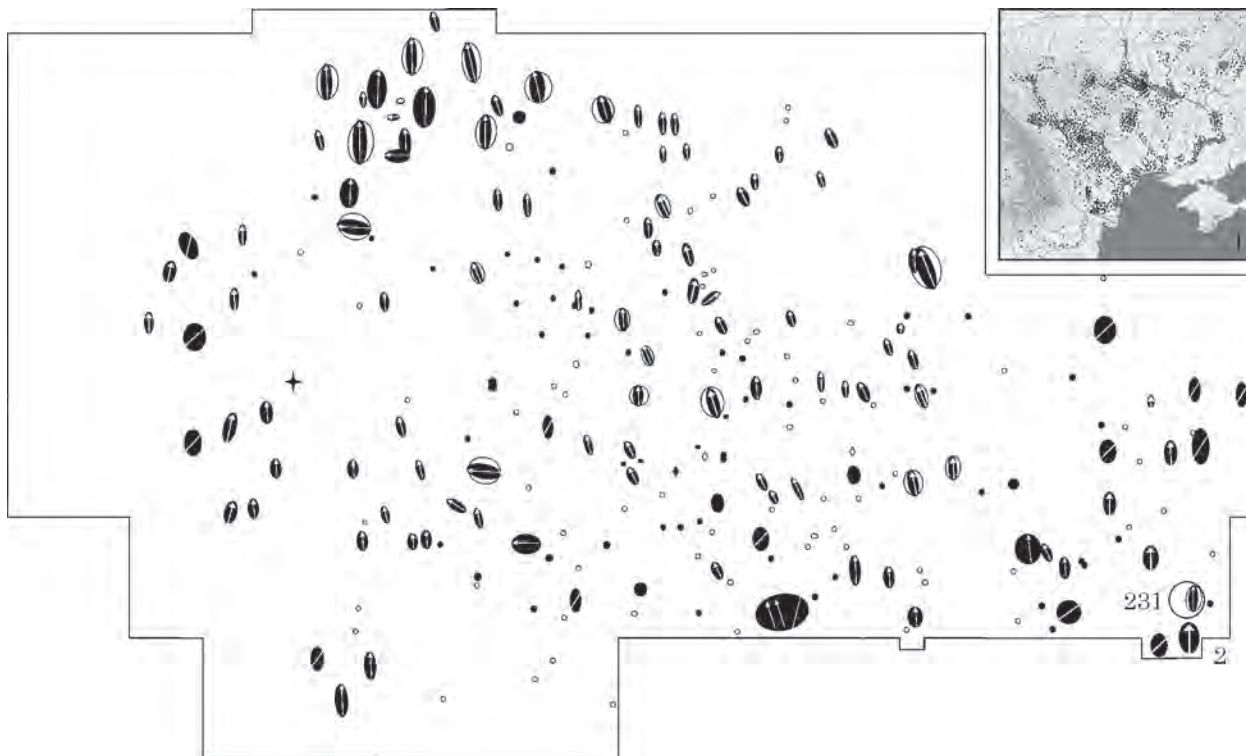


Рис. 1. Могильник Войтенки: 1 — могильник в ареале культуры Черняхов / Сынтана де Муреш (на карте: Гей 1993); 2 — положение погребения 231 на могильнике (по исследованиям 2005—2018 гг.)

различного возраста (погр. 6, 34, 50, 72, 79, 85, 94, 97, 99, 103, 126, 217, 218, 220, 231)¹. Располагалось в юго-восточной части исследованной площади могильника (рис. 1: 2). В заполнении погребальной ямы встречены остатки древесины. Погребальное сооружение овальной в плане формы, с небольшим расширением в южной части, ориентировано по линии север—юг с отклонением на восток 15°. Подбой и входная яма располагались параллельно друг другу. Обрушенный подбой, находился к западу от входной ямы. В восточной, южной и северной частях ямы выполнена полка, в южной части которой сделана ступенька (рис. 2: 1, 3—5). Параметры ямы приведены в приложении.

Скелет ребенка лежал на спине по линии север—юг с отклонением 330° поверх сосудов 2—5, 7, 9, 20, 23 (рис. 4: 2—5, 9, 21, 23), головой на север. Частично отсутствовали позвонки и правая рука. Левая рука отведена в сторону от скелета, ноги разведены в стороны (рис. 2: 1). Параметры скелета описаны в приложении.

Инвентарь компактно сгруппирован в западной и юго-восточной частях погребального сооружения. В западной части, под скелетом и вокруг него, находились 17 круговых сосудов (сосуды 1—12, 19—23). Амфора (сосуд 1; рис. 4: 1) с остатками винного камня внутри размещалась на боку между черепом и северо-запад-

ной стеной. Вокруг шейных позвонков в сосуде 2 (рис. 4: 2) находилась низка из 83 бусин (рис. 3: 1) и две парные бронзовые щитковые фибулы (рис. 3: 2, 3). В сосуде 3 (рис. 4: 3), под правой кистью находилась подвеска 6 (рис. 3: 7), под левым бедром — подвеска 5 (рис. 3: 6). В сосуде 7 (рис. 4: 7), между нижними конечностями — подвески 1—3 (рис. 3: 8—10). В сосуде 8 (рис. 4: 8) — подвеска 4 (рис. 3: 11). Между сосудами 6—8 (рис. 4: 6—8), возле правой большой и малой берцовыми костями лежало пряслице 2 (рис. 3: 13). Возле сосуда 11 (рис. 4: 11) — пряслице 1 (рис. 3: 12). В северо-западном углу, среди остатков жертвенной пищи, находился железный нож (рис. 3: 5) и фрагмент рогового гребня (рис. 3: 4). В сосуде 6 (рис. 4: 6) размещались фрагменты гончарного сосуда 24 (рис. 4: 16), перемешанные с углями. В юго-восточной части погребального сооружения находились шесть гончарных сосудов (сосуды 13—18; рис. 4: 13—15, 17—19). В сосудах 12, 13, 18 зафиксированы остатки древесины на уровне 1,30—1,37 м. Описание инвентаря погребения приведены в приложении.

Жертвенная пища представлена двумя скоплениями: первое — возле сосуда 1 (рис. 4: 1; кости мелкого рогатого скота) на уровне 1,37—1,49 м; второе — между сосудами 7 и 12 (рис. 4: 7, 12; скорлупа яиц и угли) на уровне 1,47 м (рис. 2: 1).

Хронология погребения. По набору хронологических индикаторов (ХИ) первого (двухпластинчатые фибулы) и второго (подвески из

1. Антропологический анализ проводили: Т. А. Рудич по раскопкам 2004—2010 гг.; А. Д. Козак по исследованиям 2017 г. (Козак 2018).

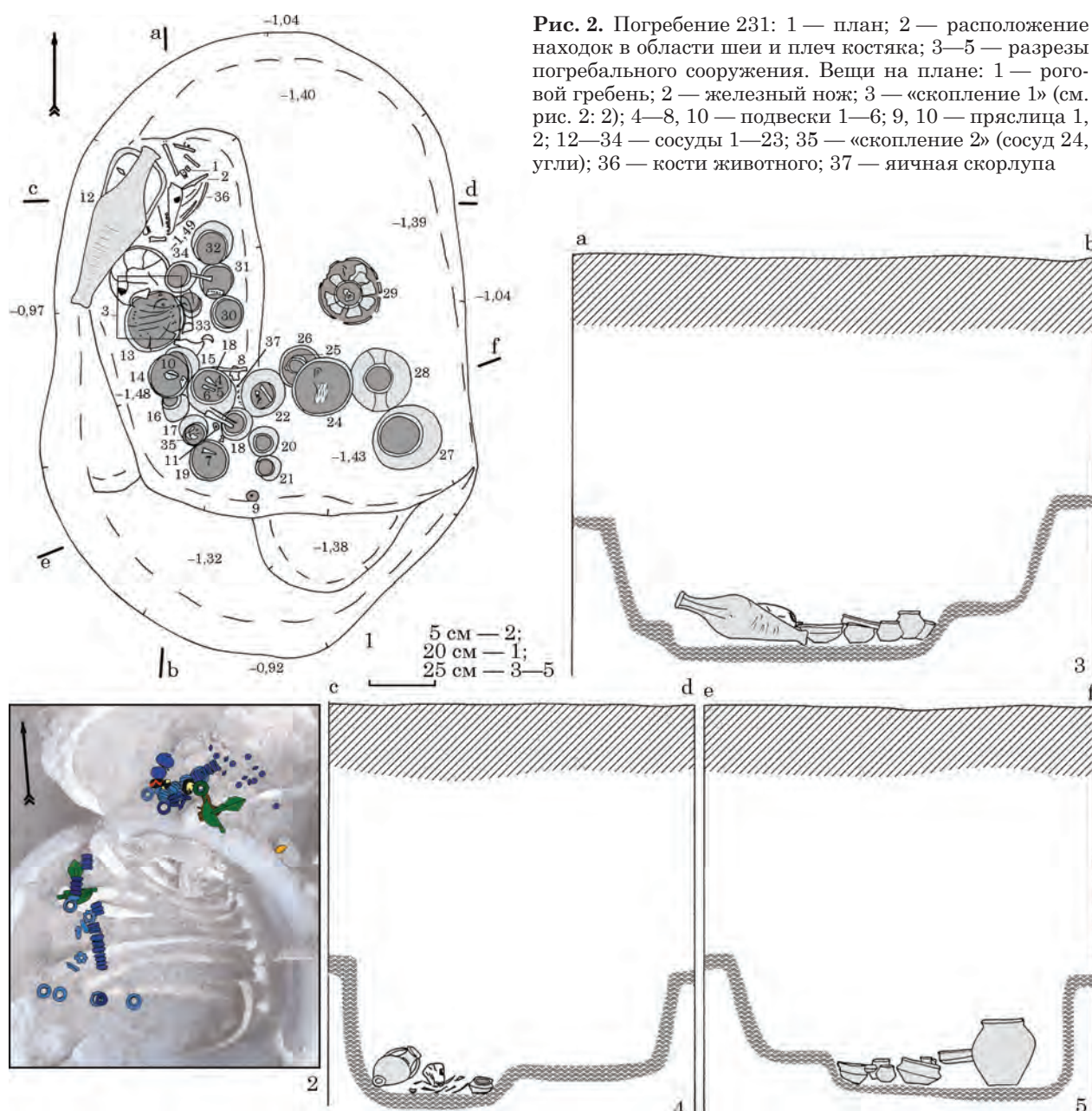


Рис. 2. Погребение 231: 1 — план; 2 — расположение находок в области шеи и плеч костяка; 3—5 — разрезы погребального сооружения. Вещи на плане: 1 — роговой гребень; 2 — железный нож; 3 — «скопление 1» (см. рис. 2: 2); 4—8, 10 — подвески 1—6; 9, 10 — пряслица 1, 2; 12—34 — сосуды 1—23; 35 — «скопление 2» (сосуд 24, угли); 36 — кости животного; 37 — яичная скорлупа

раковин морских моллюсков) уровней погребения относится к фазе «С» относительной хронологии горизонта «классической» черняховской культуры в днепро-донецкой лесостепи (Любичев 2019, 1, с. 95—97; 2, с. 32, 34), которая соотносится со ступенями С3, С3/D1 Я. Тейрала и в абсолютных датах может быть отнесена к третьей четверти IV в. (Любичев 2019, 1, с. 99; 2, с. 36). Узкогорлая светлоглиняная амфора типа Шелов—Диденко F3 в черняховских комплексах датируется рубежом третьей—четвертой четвертей IV в. (Діденко 2018, с. 68).

Особенности погребения. Инвентарь погребения включает 24 сосуда (параметры см. в таблице), это самое большое количество керамической посуды в погребении из всех, обнаруженных до настоящего времени на могильнике. Обычно в неразрушенных ингумациях встречаются 2—4 (33 %) или 5—8 сосудов (26 %). Толь-

ко в четырех погребениях (погр. 86/1, 96, 101, 231) находились 15 сосудов или более (6 %).

Особенностью этого керамического комплекса является наличие амфоры (рис. 4: 1). Фрагменты амфор происходят из ареала поселения, а отдельные фрагменты присутствуют в культурном слое могильника. Но целая амфора пока известна только лишь в погр. 231. Амфоры в инвентаре погребений могильников культуры Черняхов / Сынтана-де-Муреш редки, но характерны для культуры в целом. В ареале черняховской культуры на территории современной Украины известно 24 находки целых амфор из которых 16 происходит из закрытых комплексов — погребений (Діденко 2018, с. 265—282). К сожалению, в нашем распоряжении имеется ограниченное количество антропологически определенных погребений с амфорой. Но по имеющейся выборке это погребения мужчин,

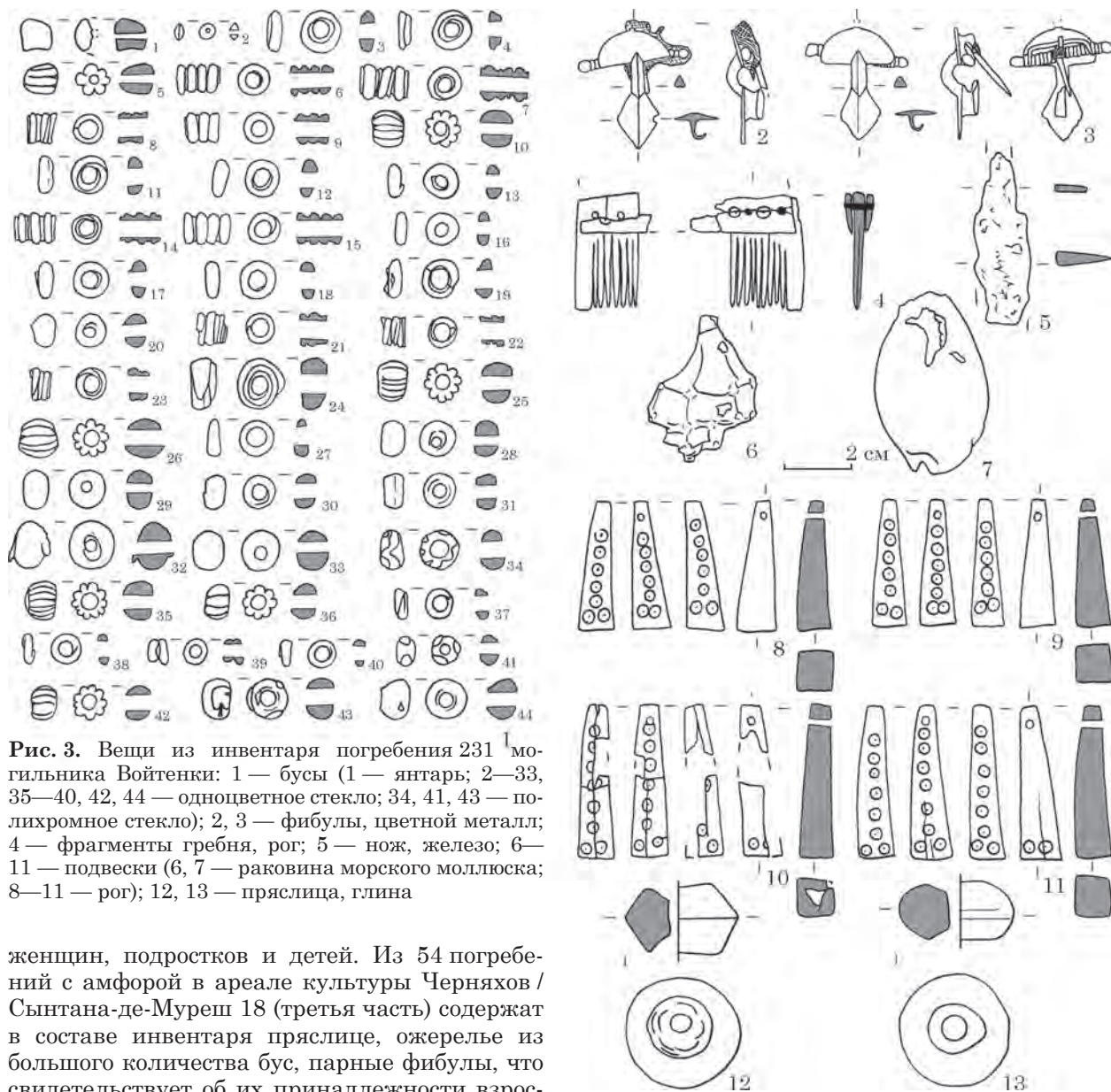


Рис. 3. Вещи из инвентаря погребения 231¹ могильника Войтенки: 1 — бусы (1 — янтарь; 2—33, 35—40, 42, 44 — одноцветное стекло; 34, 41, 43 — полихромное стекло); 2, 3 — фибулы, цветной металл; 4 — фрагменты гребня, рог; 5 — нож, железо; 6—11 — подвески (6, 7 — раковина морского моллюска; 8—11 — рог); 12, 13 — пряслица, глина

женщин, подростков и детей. Из 54 погребений с амфорой в ареале культуры Черняхов / Сынтана-де-Муреш 18 (третья часть) содержат в составе инвентаря пряслица, ожерелье из большого количества бус, парные фибулы, что свидетельствует об их принадлежности взрослым женщинам или девочкам.

Традиционно светлоглиняные узкогорлые амфоры типа Шелов F и, в частности, Шелов—Диденко F3 считаются средством транспортировки вина из Гераклеи Понтийской (напр.: Arsen'eva et al. 1997; Внуков, 2006, с. 48—57; Діденко 2018, с. 31, 32). Остатки винного камня на стенках амфоры из погр. 231 позволяют предположить, что эта амфора попала в погребение со своим первоначальным содержанием. Сосуд являлся частью «питейного набора», который обычно включал в себя горшок, миски различных типов, вазу / трехручную вазу, одноручный / двуручный кувшины, стеклянный или керамический кубок. Такие «питейные наборы» с меньшим количеством сосудов встречаются и в других погребениях.

Следующей особенностью керамического набора погребения является наличие кружки (рис. 4: 14). Помимо погр. 231 она присутствует в погр. 96, а на поселении этот тип сосуда довольно редок.

В составе инвентаря выделяются бронзовые двухпластинчатые фибулы (рис. 3: 2, 3), которые пока не встречены ни в одном погребении могильника. Пирамидальные костяные подвески (рис. 3: 8—11) происходят из трех кремаций (погр. 10, 52, 67). Одна подвеска сохранилась в разрушенной в древности ингумации (погр. 167), два экземпляра — также в разрушенной ингумации (погр. 215). В последнем случае пирамидальные подвески выступают в комплексе с подвесками из раковин и потому это погребение является аналогией для погр. 231. Другие части инвентаря — роговой гребень, бусы, пряслица встречаются в погребениях гораздо чаще. Погребения с многочисленными вещами: комбинацией металлических деталей костюма, предметов туалета и домашней утвари обычно всегда связаны с различными сосудами, а иногда и с «полным питейным сервизом» (Шульце, Любичев 2018).

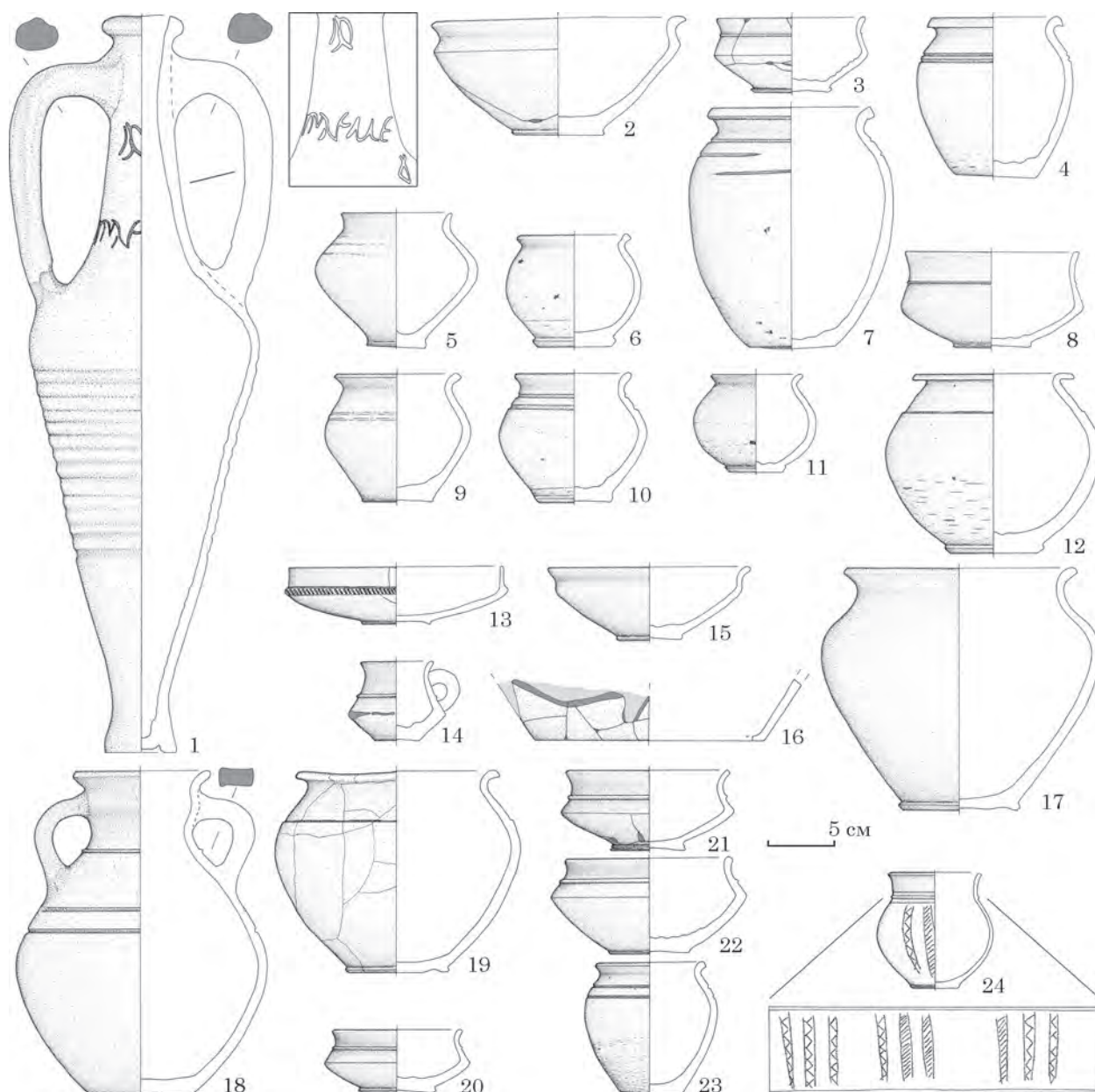


Рис. 4. Керамические сосуды из погребения 231 могильника Войтенки

Параметры керамических сосудов из погр. 231 могильника Войтенки, см

№	Сосуд Тип	Высота	Диаметр			№	Сосуд Тип	Высота	Диаметр		
			венчика	тулова	днища				венчика	тулова	днища
1	Амфора	50,8	5,6	15,8	4,9	13	Миска	4,0	15,0	15,6	4,8
2	Миска открытого типа	8,1	17,6	17,1	6,4	14	Кружка	5,5	5,1	6,8	3,2
3	То же	5,2	10,4	10,8	5,7	15	Миска открытого типа	5,2	14,1	13,0	4,6
4	Горшок	11,0	9,6	10,9	5,7	16	Ваза	17,0	16,2	20,0	8,4
5	То же	9,4	7,8	11,4	4,2	17	Двуручный кувшин	22,5	9,6	17,6	7,2
6	То же	7,7	7,9	9,4	5,8	18	Ваза	14,0	14,3	17,1	7,3
7	То же	16,6	11,7	14,3	6,2	19	Миска закрытого типа	4,4	9,1	10,2	5,5
8	Миска закрытого типа	6,6	12,0	12,7	5,4	20	То же	5,5	11,5	12,0	5,2
9	Горшок	8,9	8,8	10,2	4,9	21	То же	6,6	11,7	13,7	5,7
10	То же	8,9	8,2	10,4	5,3	22	Кубок	8,1	6,5	8,0	3,4
11	То же	6,7	6,4	8,6	4,3	23	Горшок	9,1	7,8	9,3	4,4
12	То же	12,4	11,3	15,0	7,0	24	То же	сохр. 4	—	—	реконст. 16

Пол, возраст и следы заболеваний на скелете. Сохранность детских останков в погребениях могильника Войтенки в целом умеренная. Она зависит в первую очередь от глубины погребения, от локальных изменений состава почвы, и от факторов внешней среды в момент погребения. По нашим наблюдениям, возраст и пол ребенка, а также его социальный статус не имеют критического влияния на состояние костной ткани в погребении (Козак 2017).

В погр. 231 сохранность костей плохая, однако, достаточная для поло-возрастных и палеопатологических определений (рис. 5). Поверхность костей большей частью эродирована, на ней

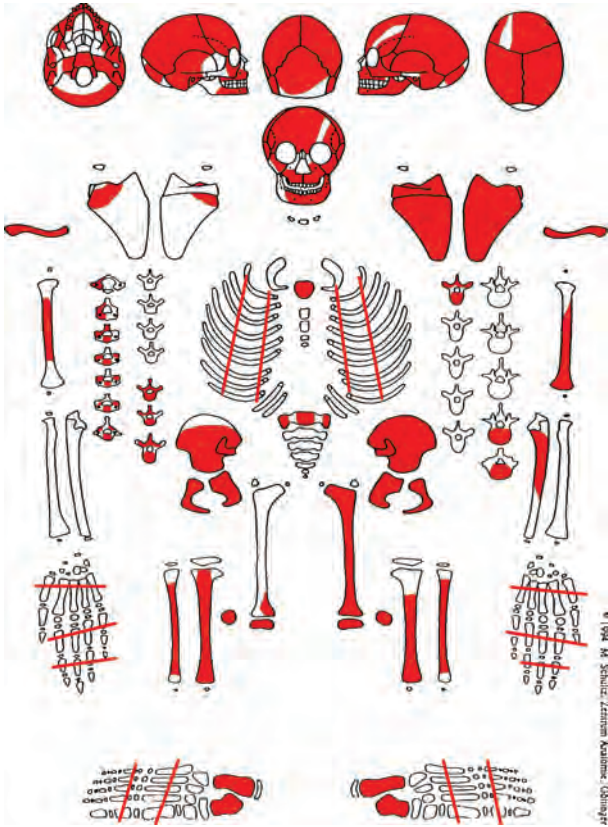


Рис. 5. Сохранность костей скелета ребенка из погребения 231 могильника Войтенки

видны следы, оставленные корнями растений. Консистенция костной ткани варьирует от хрупкой до плотной, в зависимости от типа кости.

Возраст ребенка определяли по длине костей конечностей без эпифизов (Baker et al. 2005; Schaefer et al. 2009), по порядку прорезывания зубов (Ubelaker 1978), а также по степени формирования зубной коронки и корня (схема, адаптированная White, Folkens 2005, p. 367).

Роднички и нижнечелюстной синостоз закрыты, что происходит в среднем после 2 лет. Удалось измерить длину бедренной кости (138 мм), большой берцовой кости (114 мм) и ширину подвздошной кости (56 мм). Эти размеры соответствуют возрасту 1—2 года. Длина ключицы (64 мм) попадает в пределы вариантов 1,5—2,5 лет. Состояние прорезывания зубов соответствует возрасту 1,5—2,5 лет с некоторой задержкой прорезывания клыков. В целом возраст ребенка можно определить как (1,5) 2—2,5 года.

Существует несколько методик определения пола неполовозрелых индивидов по их костным останкам (Weaver 1980; Schutkowski 1993; Molleson et al. 1998; Loth, Henneberg 2001; Scheuer 2002; Reinman 2015; Luna et al. 2017). Эти определения основываются преимущественно на морфологии таза и нижней челюсти, их достоверность колеблется от 60 до 80 % в разных исследованиях. Кроме того, используют морфологию ключицы.

Изгиб ключицы достаточно слабый (рис. 6: 1), как и изгиб подвздошной кости (Schutkowski 1993). Угол большой седалищной вырезки больше 120°. Аурикулярная поверхность асимметрична, имеет L-форму (рис. 6: 2), что соответствует женскому полу (Luna et al. 2017). Аурикулярная поверхность приподнята над верхним краем седалищной вырезки (Weaver 1980; Mittler, Sheridan 1992), задняя линия седалищной вырезки пересекает аурикулярную поверхность (Schutkowski 1993). Нижняя челюсть имеет квадратный подбородочный выступ, смягченную линию ветви и сглаженные вертикальные абрисы, что, в конечном итоге, соответствует скорее женскому, чем мужскому полу (Loth, Henneberg 2001). Таким



Рис. 6. Полоопределяющие признаки: 1 — изгиб ключиц, 2 — строение подвздошной кости

образом, судя по морфологическим признакам, скелет принадлежит, скорее, девочке.

Кости скелета грацильные. На них выявлены следы активных ростовых процессов. В местах прикрепления крупных мышц присутствуют борозды и разрастания. На губной поверхности левого нижнечелюстного клыка расположен одиночный гипопластический дефект эмали в виде капли, размером около 3 мм (рис. 7). Линии Харриса случайно обнаружены на сломках длинных костей. Они расположены недалеко от метафизарных зон, и, значит, образовались незадолго до гибели ребенка.

Поверхность лицевых костей и костей черепа пористая, местами покрытая пленочкой новообразованной костной ткани. Особенно четко пористость определяется на дне орбит, дне и стенках носовой полости, на альвеолярном крае, подорбитальной поверхности, теле и ветвях нижней челюсти, на поверхности твердого неба, базиллярной части затылочной кости, в надостной ямке и на подостной поверхности крыла лопатки, а также на медиальной поверхности большеберцовой кости. Пористая пленка новообразованной кости расположена на своде орбиты (рис. 8), вокруг питательных отверстий, отверстий сосудов в основании черепа, в расширенных пальцевидных вдавлениях на внутренней поверхности костей свода черепа (рис. 9). Характер этих новообразований несколько различен. Так, пленка в пальцевидных вдавлениях имеет различную толщину, пронизана множественными кустовидными и сетчатыми бороздами мелких сосудов, однако создает впечатление относительно плотной костной ткани. Пленка в орбите более рыхлая, мелкопористая, в то время как изменения вокруг отверстий сосудов имеют вид кружевной, мелкопористой недавно образованной ткани. Исходя из морфологии и характера признаков, все они представляют разные стадии геморрагической реакции.

Кроме того, на шейке бедренной кости присутствуют «разрежения» поверхностной пластинки, соответствующее симптому *cribra femoris*, а также несколько нарушены процессы костеобразования в эпиметафизарных зонах длинных костей.

Анализ патологических изменений костей в контексте среды обитания. Следы деструктивных и пролиферативных процессов костной ткани в местах прикрепления сухожилий мышц у девочки 1—2 лет можно рассматривать как травмы, связанные с процессами роста. Некоторые исследователи считают, что такие изменения обусловлены особенностями прикрепления сухожилий и строения периоста у детей (Villotte, Knüsel 2013). Наиболее часто их фиксируют в местах прикрепления больших мышц (*m. pectoralis major, soleus, gluteus maximus* etc.). В средневековых сериях, исследованных на территории Украины А. Д. Козак, эти признаки практически всегда коррелируют с изменениями скелета, вследствие нарушений обмена веществ у детей и подростков.



Рис. 7. Нижняя челюсть. Пятно гипоплазии на молочном клыке

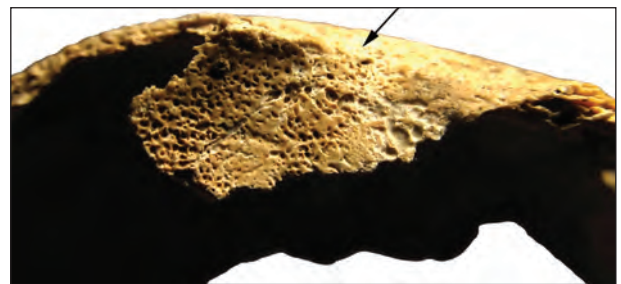


Рис. 8. Изменения в орбите ребенка

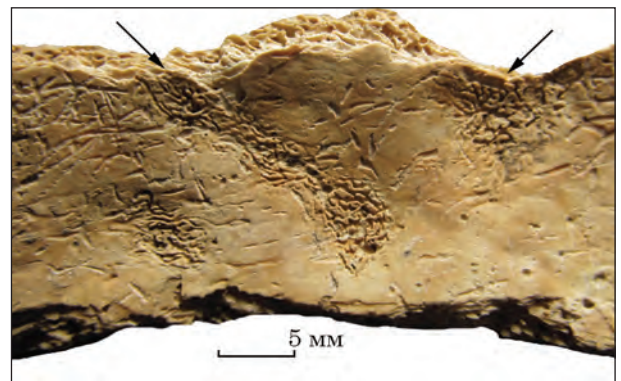


Рис. 9. Внутренняя поверхность теменной кости. Пористая пленка в пальцевидных вдавлениях

На скелете девочки обнаружен ряд других патологий, свидетельствующих о нарушениях обмена веществ. В первую очередь это следы метаболических процессов, связанных с дефицитом определенных витаминов. К ним относятся пористость поверхности лицевых костей и следы осифицированных и частично кальцинированных геморрагий на костях черепа. Причиной таких изменений может быть хрупкость сосудов вследствие авитаминоза С (и в дальнейшем — цинги). Диагноз подтверждается симптомом «скорбутного лица» (рис. 10), видимым на верхнечелюстных костях и рыхлостью краев и стенок альвеол, вызванных пародонтопатиями (Ortner, Ericksen 1998; Козак, Шульц 2007; Brickley, Ives 2008, p. 56—60; Козак 2010, с. 149—156; Lewis 2018, p. 215—217). Причиной появления дефекта эмали клыка нижней челюсти или так называемой локальной ги-



Рис. 10. Верхняя челюсть ребенка. Симптом «скорбутного лица»

поплазии молочных клыков: LHPC (Skinner 1986) или Skinner's teeth (Lewis 2018 p. 85, 86) считают механическую травму формирующейся эмали вследствие временного истончения альвеолярной кости (остеопения). Это, в свою очередь, обусловлено дефицитом кальция в материнском молоке (Skinner, Hung 1989), недостатком солнечного света у детей, рожденных в зимние месяцы (Lewis 2018) или низким потреблением жиров, необходимых для усвоения витамина А и каротиноидов (Skinner et al. 1994; Skinner, Newell 2000), то есть, состояниями, связанными с дефицитом витаминов А и Д, или кальция. Ослабление связок и сухожилий периодонта и кровотечения в области десен, вызванные авитаминозом С также могут вызвать нарушение целостности альвеолярной кости или деформацию стенок альвеол, соответственно, привести к травмам формирующейся коронки (Kalnins 1950). Другие изменения, которые указывают на возможные метаболические нарушения — пористость шейки бедренной кости (*cribra femoris*), что является одним из симптомов анемии (Lewis 2018, p. 194). Разрежение поверхности кости в зонах эпиметафизов сопровождается различными заболеваниями, в том числе и нарушение обмена веществ.

Однако, дефицитные заболевания у ребенка из социально обеспеченного слоя населения, кажутся, по крайней мере, сомнительными, до той поры, пока мы считаем эти заболевания лишь последствием голода. Недостаток витаминов и микроэлементов может быть спровоцирован также их повышенным потреблением вследствие инфекции, с которым борется организм. Геморрагии на внутренней поверхности черепных костей, наряду с увеличенными пальцевидными вдавлениями (симптом повышенного внутричерепного давления), могут быть следствием реакции мозговых оболочек на бактериальную или вирусную инфекцию (Шульц, Козак 2008). С другой стороны, к таким последствиям может привести ухудшение качества материнского молока или же раннее прекращение грудного вскармливания вследствие заболевания или смерти матери.

Низкое поступление жира или кальция с молоком матери в период формирования коронки клыка (от 6 месяцев до года), в дальнейшем могли вызвать снижение иммунитета или же привести к хроническим диареем, вызвавшим истощение организма.

Интересно, что подобный набор симптомов (цинги, анемии, следов бактериального менингита как следствия осложнения среднего отита и др.), обнаружен у ребенка из другого погребения с богатым инвентарем на исследуемом могильнике (погр. 217), а также у ребенка из погребения 218. Оба эти погребения располагались в десятке метров к северо-западу от исследуемого.

Таким образом, можно предположить, что метаболические и дефицитные состояния, приводящие к гибели грудных детей, могли быть обусловлены какими-то явлениями в общине, условиями жизни. Такие же изменения часто выявлены у детей и на других могильниках черняховской культуры (Козак 2016). Причину гибели детей поможет выявить исследование патологических процессов и смертности у взрослых.

Отметим, что время образования линейной гипоплазии эмали, маркирующей эпизоды острых и обострения хронических болезней, а также голоданий в детском возрасте в популяции Войтенков соответствует 2—4 годам (Мамчур, Козак 2020 в печати), то есть как раз возрасту, близкому к гибели девочки. Возможно, именно этот период был наиболее критичным в процессе адаптации детей к условиям среды.

Не исключено, что не выжившие дети рождались в периоды голода, вызванного неурожаем, падежом скота, или во время эпидемий. Хозяйственный уклад черняховских популяций — преимущественное земледелие и скотоводство — делало население зависимым от погодных условий и урожаев. Немалую роль в колебаниях здоровья играли миграции. Постоянный приток населения нарушал микробиому, успевшие образоваться в относительно ограниченном пространстве общины. Это приводило к появлению новых инфекций, от которых в первую очередь страдали дети.

Подобные погребения на черняховских могильниках. Погр. 231 находится в юго-восточной части исследованной площади могильника. Его окружали как ингумации, так и кремации. Ближайшим погребением к югу является погр. 229 — ингумация, ориентированная по линии север—юг с инвентарем, включающим две фибулы, две пряжки, игольник с иглой, бусы, 10 круговых сосудов и жертвенную пищу. Немного восточнее размещалось погребение-кремация 230 с урной в виде горшка и фрагментами трех других сосудов (рис. 1: 2). Детские погребения находятся в разных частях могильника и не образуют отдельной группы. Часто они отделены друг от друга достаточно большими площадями, на которых располагаются другие погребения. Особая ситуация про-

слежена в 12—15 м к северо-западу от погр. 231: там находится группа из трех детских погребений (погр. 217, 218, 220; рис. 1: 2).

Корректным является сравнение рассматриваемого «богатого» детского погребения из Войтенков с подобным комплексом, погр. 132 могильника Великая Бугаевка. Речь идет о погребении девочки в возрасте 7 лет (Петраускас 2004; Рудич 2004). В простой яме находился скелет в вытянутом положении. Присутствует лишь одно скопление керамики — 9 сосудов были сгруппированы выше черепа и лишь один находился у бедра. Скелет не лежал на сосудах (Петраускас 2004, рис. 1, 2). Керамический набор состоит из 6 горшков, 4 мисок (Петраускас 2004, рис. 2: 1—10; 4) одну из которых (самую большую; Петраускас 2004, рис. 2: 10) можно рассматривать как вазу. Кувшин и амфора здесь отсутствуют. О. В. Петраускас называет один сосуд миской-кубком (Петраускас 2004, рис. 2: 4; 4: 5), но можно предполагать, что и маленький горшок у бедра (Петраускас 2004, рис. 2: 1; 4: 8) служил кубком. Следовательно, набор сосудов из погр. 132 Великой Бугаевки отличается от погр. 231 Войтенков, являясь «неполным питейным сервизом». Предметы туалета и утвари в обоих погребениях состояли из гребня, ножа, но в погр. 231 Войтенков находилось пряслице, а в погр. 132 Великой Бугаевки — клюковидная булава, костяная иголка, ладан. Жертвенная пища обнаружена только в погр. 231. Набор металлических деталей костюма сходен в обоих погребениях. Следует отметить парные бронзовые фибулы, пряжку, украшения с бусами. В погр. 132 бусы найдены не только в скоплении в области шеи, но и у пояса, за черепом. О. В. Петраускас реконструировал из бусин в области шеи два ожерелья (Петраускас 2004, рис. 7). В обоих погребениях между ногами лежал амулет из костяных пирамидальных подвесок и подвесок из раковин морских моллюсков, который первоначально был прикреплен к поясу.

Детали костюма и украшения свидетельствуют, что в этих погребениях детей находятся вещи взрослой женщины. Если принимать во внимание керамический сервиз, то возможно предположить, что инвентарь не отражает реальное положение этих девочек в обществе, но он отражает их будущее в другом мире. Одновременно особенности инвентаря свидетельствуют об экономических возможностях семьи родственников умерших. Погребение с амфорой свидетельствуют о прочных хозяйственных позициях семьи. Эта семья, вероятно, участвовала в межрегиональном обмене, что нельзя сказать обо всех жителях поселения. Возможно, амфора с вином здесь выполняет некую идеологическую нагрузку, связанную, вероятно с культом плодородия и продолжения рода, в том числе и в погустороннем мире. Амфора сочетается с амулетом, из двух подвесок-раковин и пирамидальных роговых подвесок. Этот амулет в погребениях могильников во всем ареале культуры связан с девочками,

девочками, не рожавшими женщинами и явно имеет отношение к магии рождения детей и продолжения рода (Lyubichev 2013, p. 244—246).

Инвентарь взрослых в погребениях детей встречен в различных частях ареала черняховской культуры. Другим примером является погр. 67 могильника Нагорное 2, где плохая сохранность костей не позволила провести антропологический анализ, а археологические остатки свидетельствуют о погребении ребенка (Gudkova, Schultze 2017, 223, Taf. 55—57). Инвентарь похож на сравниваемые выше два комплекса. Парные серебряные фибулы и бусы, как обычно, находились возле плеч, а подвески из раковин и пирамидальная подвеска находились в скоплении в северо-восточном углу ямы. Возможно, эти вещи находились в кулаке и представляли собой подарок.

Приложение

ПАРАМЕТРЫ И КАТАЛОГ ИНВЕНТАРЯ ПОГРЕБЕНИЯ 231

Параметры погребального сооружения (м): длина — 1,92; ширина: в северной части — 1,18; в центральной части — 1,27; в южной части — 1,34; полки: северная часть: длина — 0,31, ширина — 0,18, высота — 0,09; восточная часть: длина — 0,80, ширина — 0,62, высота — 0,1; южная часть: длина — 1,17, ширина — 0,31, высота — 0,11; ступеньки в южной части: длина — 0,46, ширина — 0,2, высота — 0,05; глубина от уровня современной поверхности: в северной части — 1,49; в центральной части — 1,49; в южной части — 1,48; глубина ступени — 1,32; глубина дна ямы от уровня материка — 0,35—0,56.

Параметры скелета (м): правая плечевая кость — 0,087, левая плечевая кость — 0,093; правая бедренная кость — 0,137; левая бедренная кость — 0,111.

Инвентарь.

1. Фрагменты рогового многочастного гребня (рис. 3: 4) — плечики, предплечья и ножки — прямые, сохранились 4 бронзовых штифта, циркулярный орнамент на пластинах-накладках. Параметры (см): высота — 3,3; толщина — 0,9; тип Thomas III (Thomas 1960).

2. Фрагменты железного ножа (рис. 3: 5) — сильно коррозирован, спинка — прямая. Параметры (см): сохр. длина — 7,4; ширина клинка — 1,6; толщина клинка — 0,1—0,6.

3. Бусина (рис. 3: 1: 1) — янтарь, фрагмент, округлая уплощенная, цвет — бордовый, непрозрачная, канал — конический; параметры (см): диаметр — 0,8; высота — 0,8; диаметр канала — 0,2—0,1. Тип Гопкало Я I/1a (Гопкало 2008).

4. Бусина (44 ед.; рис. 3: 1: 2) — одноцветное синее полупрозрачное стекло, биконическая усеченная дважды, канал — цилиндрический. Параметры (см): диаметр — 0,5; высота — 0,4; диаметр канала — 0,1. Тип Гопкало ОС XII/2a.

5. Бусина (10 ед.; рис. 3: 1: 6—9, 14, 15, 21—23, 39) — одноцветное голубое непрозрачное стекло, многочастная винтообразная эллипсоидная усеченная дважды, канал — цилиндрический продольный. Параметры (см): высота — 0,5—1; диаметр — 0,7—0,8; диаметр канала — 0,4. Тип Гопкало ОС XIII/1.

6. Бусина (4 ед.; рис. 3: 1: 28, 29, 32, 33) — одноцветное голубое полупрозрачное стекло, округлая эллипсоидная усеченная дважды, канал — цилинд-

рический, параметры (см): высота — 0,7; диаметр — 1,0; диаметр канала — 0,35. Тип Гопкало ОС II/15.

7. Бусина (8 ед.; рис. 3: 1: 11—13, 16—18, 30, 31) — одноцветное голубое полупрозрачное стекло, округлая эллипсоидная усеченная дважды, канал — цилиндрический. Параметры (см): высота — 0,35; диаметр — 0,9—1,1; диаметр канала — 0,5—0,6. Тип Гопкало ОС II/2.

8. Бусина (рис. 3: 1: 27) — одноцветное черное непрозрачное стекло, округлая эллипсоидная усеченная дважды, канал — цилиндрический поперечный. Параметры (см): высота — 0,4; диаметр — 1,0; диаметр канала — 0,4. Тип Гопкало ОС II/1.

9. Бусина (7 ед.; рис. 3: 1: 5, 10, 25, 26, 35, 36, 42) — одноцветное непрозрачное голубое стекло, ребристая эллипсоидная усеченная дважды, канал — цилиндрический поперечный. Параметры (см): высота — 0,6—0,8; диаметр — 0,9—1,1; диаметр канала — 0,35—0,4. Тип Гопкало ОС XIV/9.

10. Бусина (2 ед.; рис. 3: 1: 20, 44) — одноцветное черное непрозрачное стекло, округлая эллипсоидная усеченная дважды, средняя, канал — цилиндрический. Параметры (см): высота — 1,0; диаметр — 1,3; диаметр канала — 0,4. Тип Гопкало ОС II/14.

11. Бусина (7 ед.; рис. 3: 1: 3, 4, 19, 24, 37, 38, 40) — одноцветное голубое полупрозрачное стекло, винтообразная эллипсоидная усеченная дважды с шейкой. Параметры (см): высота — 0,7—0,8; диаметр — 1,1—1,3; диаметр канала — 0,4—0,6. Тип Гопкало ОС XIII/1.

12. Бусина (рис. 3: 1: 34) — полихромное непрозрачное стекло, основа: черное непрозрачное стекло, декор: одноцветный плоский в виде волнистой линии из розово — коричневого непрозрачного стекла, округлая эллипсоидная усеченная дважды, средняя, канал — цилиндрический. Параметры (см): высота — 0,7; диаметр — 1,1; диаметр канала — 0,5. Тип Гопкало ПС IX/16.

13. Бусина (2 ед.; рис. 3: 1: 41, 43) — полихромное непрозрачное стекло, основа: черное непрозрачное стекло, декор: одноцветный выпуклый в виде трех симметричных пятнышек из желтого непрозрачного стекла, округлая эллипсоидная усеченная дважды, малая и средняя, канал — цилиндрический, параметры (см): высота — 0,5—0,9; диаметр — 0,9—1,2; диаметр канала — 0,4—0,5. Тип Гопкало ПС I/Аб.

14. Бронзовая двухчастная двупластинчатая фибула (№ 1; рис. 3: 2). Отсутствует маленький фрагмент нижней пластины. Дуговидная спинка треугольного сечения, верхняя пластина — полукруглая, нижняя — ромбовидная с максимальным расширением на середине высоты. Приемник — сплошной пластинчатый прямоугольный, оттянут от края ножки. Одна пружина закреплена в первом отверстии в вертикальной пластинке и выступает за край щитка, на концах — «кнопки». Одинарная верхняя тетива продета через второе отверстие в вертикальной пластинке. Параметры (см): длина корпуса — 3,5; сечение спинки: 0,3 × 0,3; размеры пластинок: верхняя: 2,0 × 1,0; нижняя: 1,2 × 1,5; длина пружины — 3,4. С внутренней стороны верхняя пластина и часть пружины закрыты остатками ткани. Тип Амброз: «маленькая» 16б; Гавритухин: вариант Боромля—Компанийцы.

15. Бронзовая двухчастная двупластинчатая фибула (№ 2; рис. 3: 3). Дуговидная спинка треугольного сечения. Верхняя пластина — полукруглая, нижняя пластина — ромбовидная с максимальным расширением на середине высоты. Приемник — сплошной пластинчатый подпрямоугольный, оттянут от края ножки. Одна пружина закреплена

в нижнем отверстии в вертикальной пластинке и выступает за край щитка, на концах — «кнопки». Одинарная верхняя тетива продета через верхнее отверстие в вертикальной пластинке. Параметры (см): длина корпуса — 3,2; сечение спинки: 0,4 × 0,3; размеры пластинок: верхняя: 2,1 × 1,0; нижняя: 1,2 × 1,3; длина пружины — 3,0; количество витков пружины с двух сторон: 8 и 10. Тип Амброз: «маленькая» 16б; Гавритухин: вариант Боромля—Компанийцы.

16. Подвеска роговая пирамидальная (4 ед.; рис. 3: 8—11) — целые (23, 24, 26), из фрагментов (25), сечение — квадрат, циркульный орнамент на трех (подвески 1, 2), четырех (подвески 3, 4) гранях в виде 7—8 циркульных окружностей, сквозное отверстие в верхней части. Параметры (см): высота — 3,7—4,6; размеры: верхнего основания — 0,4—0,6 × 0,4—0,5; нижнего основания — 1,1 × 1,1—1,2; диаметр отверстия — 0,2. Тип Гопкало К 1.

17. Подвеска из раковины морского моллюска *Bolinus brandaris* (подвеска 5; рис. 3: 6). Параметры (см): размеры 4,4 × 3,2. Тип Гопкало Р 2.

18. Подвеска из раковины морского моллюска *Cypraea pantherina* (подвеска 6; рис. 3: 7). Параметры (см): размеры 5,5 × 3,3. Тип Гопкало Р 2.

19. Глиняное пряслице (пряслице 1; рис. 3: 12) — биконическое с острым ребром, лощеная поверхность коричневого цвета, основания — вогнутые. Параметры (см): высота — 2,0; диаметр по ребру — 3,3; диаметр основания — 2,0; диаметр отверстия — 0,7.

20. Глиняное пряслице (пряслице 2; рис. 3: 13) — колесовидное, лощеная поверхность коричневого цвета, основания — вогнутые. Параметры (см): высота — 1,8; диаметр по ребру — 3,2; диаметр основания — 1,5—2,1; диаметр отв. — 0,7.

21. Амфора узкогорлая светлоглиняная (сосуд 1; рис. 4: 1) — шероховатая поверхность бежевого цвета, горло — узкое, максимально расширенное в основе, тулово — удлиненное, борозды на тулове, плечо — низко опущенное покато, переход от горла к плечу — плавный, венчик — валикообразный, сечение ручки — профилированное, ножка — коническая, поддон — кольцевой, дипинти (несколько знаков) — в два ряда: на горле, на основании горла. Параметры сосудов содержатся в таблице.

22. Миска открытого типа (сосуд 2; рис. 4: 2) — целая, шероховатая поверхность светло-серого цвета, ребристое тулово, ребро — в верхней части высоты, венчик — отогнут, днище — плитчатое.

23. Миска закрытого типа (сосуд 3; рис. 4: 3) — археологически целая, лощеная поверхность черного цвета, ребристое тулово, ребро на середине высоты, венчик — отогнут, днище — плитчатое, орнамент — валик на плече.

24. Горшок (сосуд 4; рис. 4: 4) — целый, шероховатая поверхность серого цвета, округлобкое тулово с наибольшим расширением выше середины высоты, венчик — отогнут, днище — сплошное, орнамент — две врезанные линии на плече.

25. Горшок (рис. 4: 5) — целый, шероховатая поверхность светло-светло серого цвета, округлобкое тулово с наибольшим расширением на середине высоты, венчик — слабо отогнут, днище — плитчатое.

26. Горшок (сосуд 6; рис. 4: 6) — целый, шероховатая поверхность серого цвета с выступающим кусками шмота, шаровидное тулово с наибольшим расширением на середине высоты, венчик — отогнут, днище — плитчатое.

27. Горшок (сосуд 7; рис. 4: 7) — целый, шероховатая поверхность светло-серого цвета, округлобкое вытянутое тулово с наибольшим расширением выше

середины высоты, венчик — отогнут, днище — сплошное, орнамент — две врезанные линии на плече.

28. Миска закрытого типа (сосуд 8; рис. 4: 8) — целая, лощенная поверхность светло-серого цвета, ребристое тулово, ребро ниже середины высоты, венчик — плавно отогнут, днище — плитчатое, орнамент — валик на плече.

29. Горшок (сосуд 9; рис. 4: 9) — целый, шероховатая поверхность белого цвета, округлобкое тулово с наибольшим расширением на середине высоты, венчик — отогнут, днище — плитчатое, орнамент — две врезанные линии на плече.

30. Горшок (сосуд 10; рис. 4: 10) — целый, шероховатая поверхность серого цвета, округлобкое тулово с наибольшим расширением на середине высоты, венчик — отогнут, днище — плитчатое, орнамент — две врезанные линии на плече.

31. Горшок (сосуд 11; рис. 4: 11) — целый, шероховатая поверхность темно-серого цвета, шаровидное тулово с наибольшим расширением на середине высоты, венчик — отогнут, днище — плитчатое.

32. Горшок (сосуд 12; рис. 4: 12) — целый, шероховатая поверхность серого и светло-коричневого цветов, шаровидное тулово с наибольшим расширением на середине высоты, венчик — отогнут, днище — плитчатое, орнамент — уступ на плече.

33. Миска открытого типа (сосуд 13; рис. 4: 13) — целая, лощеная и частично слабо обожженная поверхность черного цвета, ребристое тулово, ребро — на середине высоты, венчик — прямой, днище-кольцевое, орнамент — валик на ребре с рядом косых насечек.

34. Кружка (сосуд 14; рис. 4: 14) — целая, шероховатая поверхность серого цвета, ребристое тулово, ребро ниже середины высоты, венчик — отогнут, днище — сплошное, сечение ручки — овал, в профиле — круглая, место крепления — шейка — плечо выше ребра, одна ручка, орнамент — валик на плече.

35. Миска открытого типа (сосуд 15; рис. 4: 15) — целая, лощенная поверхность темно-серого цвета, ребристое тулово, ребро — в верхней части высоты, венчик — отогнут, днище — плитчатое.

36. Горшок — ваза (сосуд 16; рис. 4: 17) — целый, лощеная поверхность светло-серого цвета, округлобкое тулово с наибольшим расширением в верхней части высоты, венчик — отогнут, днище — кольцевое.

37. Двуручный кувшин (сосуд 17; рис. 4: 18) — целый, лощенная поверхность светло-серого цвета, округлое тулово с наибольшим расширением на середине высоты, венчик — отогнут, днище — сплошное, две ручки, сечение — прямоугольник с одним выступающим углом, профиль — дуга, место крепления: горло — плечо, горло — с плавным переходом от тулова, расширяющееся и профилированное, орнамент: валик на основании горла и два канала ниже ручки;

38. Горшок-ваза (сосуд 18; рис. 4: 19) — целый, лощенная поверхность светло-серого цвета, округлобкое тулово с наибольшим расширением выше середины высоты, венчик — отогнут, днище — кольцевое орнамент — уступ на плече.

39. Миска закрытого типа (сосуд 19; рис. 4: 20) — целая, лощенная поверхность серого цвета, ребристое тулово, ребро — на середине высоты, венчик — отогнут, днище-плитчатое, орнамент — валик на плече ниже шейки.

40. Миска закрытого типа (сосуд 20; рис. 4: 21) — целая, лощенная поверхность черного цвета, ребристое тулово, ребро — на середине высоты, венчик —

отогнут, днище — плитчатое, орнамент — валик на плеч ниже шейки.

41. Миска закрытого типа (сосуд 21; рис. 4: 22) — целая, лощенная поверхность светло-серого и терракотового цветов, ребристое тулово, ребро — выше середины высоты, венчик — слабо выделен, днище — плитчатое, орнамент — валик на плече.

42. Кубок (сосуд 22; рис. 4: 24) — целый, лощенная поверхность черного цвета, венчик — слабо отогнут, тулово — округлое, днище — плитчатое, орнамент — комбинированный: валик на переходе от горла к плечу и чеканно — штамповый орнамент на тулове.

43. Горшок (сосуд 23; рис. 4: 23) — целый, шероховатая поверхность темно-серого цвета, округлобкое тулово с максимальным расширением выше середины высоты, венчик — отогнут, днище — сплошное, орнамент — две врезанные линии на плече.

44. Горшок (сосуд 24; рис. 4: 16) — фрагменты днища и стенок, шероховатая поверхность серого цвета, днище — сплошное.

ЛИТЕРАТУРА

Амброз, А. К. 1966. *Фибулы юга Европейской части СССР*. Свод археологических источников, Д 1-30. Москва: Наука.

Внуков, С. Ю. 2006. *Причерноморские амфоры I в. до н. э. — II в. н. э.* II: Петрография, хронология, проблемы торговли. Санкт Петербург: Алетейя.

Гей, О. А. 1993. Черняховская культура. Хронология. В: Рыбаков, Б. А. (ред.). *Славяне и их соседи в конце I тыс. до н. э. — первой половине I тыс. н. э.* Москва: Наука, с. 146-155.

Гопкало, О. В. 2008. *Бусы и подвески черняховской культуры*. Киев: Корвін-Піотровський А. О.

Діденко, С. В. 2018. *Античний керамічний імпорт у черняхівській культурі на території України*. Дисертація к. і. н. Київ, ІА НАН України

Козак, О. Д. 2010. *Кияни княжої доби. Біоархеологічні студії*. Київ: Академперіодика.

Козак, О. Д. 2016. Землероби у верхів'ях Південного Буга (палеопатологічне дослідження могильника біля с. Лісові Гринівці). *Oium*, 5: Черняхівська культура: до 85-річчя від дня народження І. С. Винокура, с. 116-126.

Козак, О. Д. 2017. Антропологічний аналіз інгумацийних поховань на могильнику Війтенки, відкритих у 2017 році. В: Любичев, М. В., Филатов, Д. А., Мызгин, К. В., Шульце, Э., Варачева, К. Г., Руснак, В. В. *Отчет о работе Германно-Славянской археологической экспедиции Харьковского национального университета имени В. Н. Каразина в 2017 г.* НА ІА НАН України, ф. 64, с. 208-221.

Козак, О. Д., Шульц, М. 2007. Палеопатологія та діагностика цинги (на антропологічних матеріалах з давньоруського Києва). *Археологія*, 4, с. 60-69.

Любичев, М. В. 2009. Погребение с римским импортом на могильнике черняховской культуры Війтенки (Восточная Украина). *Ostrogothica. Археология Центральной и Восточной Европы познеримского времени и Эпохи Великого переселения народов*, с. 72-90.

Любичев, М. В. 2019а. *Ранняя история днепродонецкой лесостепи I—V веков*. 1, 2. *Ostrogothica Serie*, 2. Харьков: Естет принт.

Мамчур, Б., Козак, О. 2020. Зубні захворювання та маркери стресу у мешканців поселення Війтенки. *Ostrogothica*, 3, с. 516-527.

Петраускас, О. В., 2004. Поховання багатодівчинки на могильнику черняхівської культури. В: Козак,

Д. Н. (ред.). *Археологія давніх слов'ян. Дослідження і матеріали*. Київ: Корвін Пресс, с. 165-188.

Рудич, Т. О. 2004. Антропологічне визначення релігійного скелету з поховання № 132. Додаток. В: Петраускас, О. В. Поховання багаті дівчинки на могильнику черняхівської культури. В: Козак, Д. Н. (ред.). *Археологія давніх слов'ян. Дослідження і матеріали*. Київ: Корвін Пресс, с. 184.

Шульц, М., Козак, А. Д. 2008. Морфологія і класифікація слідів менингеальних реакцій на древніх черепах (проблеми діагностики на прикладі середньовікових популяцій Києва). *Опис: Междисциплинарные исследования в археологии*, 6, с. 276-299.

Шульце, Э., Любичев, М. В. 2018. Група погребених-ингумацій в северо-западной часті могильника черняхівської культури Войтенки: питання хронології. *Ostrogothica-Serie*, 3: Хронологія і монетні знахідки поздеримського часу і епохи Великого переселення народів. Актуальні археологічні дослідження в Центральній і Східній Європі, с. 121-145.

Arsen'eva, T., Kassab Tezgör, D., Naumenko, S. 1997. Un depotoir d'atelier d'amphores a pate Claire. Commerce entre Heraclea du Pont et Tanais a l'epoque romaine. *Anatolia Antiqua*, V, p. 187-198.

Baker, B. J., Dupras, T. L., Tocheri, M. W. 2005. *The Osteology of Infants and Children*. Texas: A&M University.

Brickley, M., Ives, R. 2008. *The Bioarchaeology of Metabolic Bone Disease*. Amsterdam; London: Elsevier.

Gavritukhin, I. 2002. On the study of double-plate fibulas of the first subgroup. *A nyíregyházi Jóna Andráss Múzeum Évkönyve*, 44, p. 113-184.

Gudkova, A. V., Schultze, E. 2017. *Gräberfeld und Siedlung Nagoroe 2. Ein Fundplatz des Šantana de Mureş—Černjachov-Kultur an der Unteren Donau*. Archäologie in Eurasien, 35. Bonn: Habelt.

Kalnins, V. 1952. Developmental Disturbances of Enamel in Scurvy. *Journal of Dental Research*, 31, p. 440-452.

Lewis, M. 2018. *Paleopathology of Children. Identification of Pathological Conditions in the Human Skeletal Remains of Non-Adults*. Elsevier, Academic Press.

Loth, S. R., Henneberg, M. 2001. Sexually Dimorphic Mandibular Morphology in the First Few Years of Life. *American Journal of Physical Anthropology*, 115, 2, p. 179-186.

Luna, L., Aranda, C., Santos, A. L. 2017. New Method for Sex Prediction Using the Human Non-Adult Auricular Surface of the Ilium in the Collection of Identified Skeletons of the University of Coimbra. *International Journal of Osteoarchaeology*, 27, 5, p. 898-911.

Lyubichev, M. 2013. The secondary used artifact in grave 41 of the chernyakhov cemetery of Voytenki. In: Khrapunov, I., Stylegar, F.-A. (ed.). *Inter ambo maria. Northern Barbarians from Scandinavia towards the Black sea*. Kristiansand; Simferopol, p. 236-248.

Mittler, D., Sheridan, S. 1992. Sex Determination in Subadults Using Auricular Surface Morphology: a Forensic Science Perspective. *Journal of Forensic Sciences*, 37, 4, p. 1068-1075.

Molleson, T., Cruse, K., Mays, S. 1998. Some Sexually Dimorphic Features of the Human Juvenile Skeleton and their Value in Sex Determination in Immature Juvenile Remains. *Journal of Archaeological Science*, 25, 8, p. 719-728.

Ortner, D. J., Erickson, M. F. 1998. Bone Changes in the Human Skull probably Resulting from Scurvy in Infancy and Childhood. *International Journal of Osteoarchaeology*, 7, 3, p. 212-220.

Reinman, A. S. 2015. *Sex Estimation in Subadult Skeletons: a Test of Eight Nonmetric Traits of the Mandible and Ilium*. Thesis Submitted to the Faculty of Dorothy F. Schmidt College of Arts and Letters In Partial Fulfillment of the Requirements for the Degree of Master of Arts. Florida Atlantic University Boca Raton.

Schaefer, M., Black, S., Scheuer, L. 2008. *Juvenile Osteology: a Laboratory and Field Manual*. New York: Academic Press.

Scheuer, L. 2002. Brief Communications: a Blind Test of Mandibular Morphology for Sexing Mandibles in the First Few Years of Life. *American Journal of Physical Anthropology*, 119, p. 189-191.

Schultze, E., 2004. Zu den Kindergräbern im Bereich der Černjachov-Kultur. In: Kokowski, A. (ed.). *Europa Barbarica. Čwierć wieku archeologii w Mastomęczu IV*. Monumenta Studia Gothica. Lublin: UMCS, S. 415-425.

Schultze, E., Lyubichev, M. V. 2017. A Cremation Grave of the Chernyakhov Culture with Spurs and Knop Bow Fibula (Bügelknopffibel): Regional Context and Interregional Comparison. *Swiatowit*, Supplement Series C: Pontica et Caucasia, 1: The Crimea and the Northern Black Sea Coast in Archaeological Research 1956—2013, p. 277-294.

Schutkowski, H. 1993. Sex Determination of Infant and Juvenile Skeletons: I. Morphognostic Features. *American Journal of Physical Anthropology*, 90, 2, p. 199-205.

Skinner, M. F. 1986. An Enigmatic Hypoplastic Defect of the Deciduous Canine. *American Journal of Physical Anthropology*, 69, 1, p. 59-69.

Skinner, M. F., Hung, J. T. W. 1989. Social and Biological Correlates of localized Enamel Hypoplasia of the Human Deciduous Canine Tooth. *American Journal of Physical Anthropology*, 79, 2, p. 159-175.

Skinner, M., Newell, E. 2000. A Re-Evaluation of Localized Hypoplasia of the Primary Canine as a Marker of Craniofacial Osteopenia in European Upper Paleolithic Infants. *Acta Universitatis Carolinae Medica*, 41, p. 41-58.

Skinner, M. F., Hadaway, W., Dickie, J. 1994. Effects of Ethnicity, Nutrition and Birth Month on Localized Enamel Hypoplasia of the Primary Canine. *ASDC Journal of Dentistry for Children*, 61, 2, p. 109-113.

Tejral, J. 1992. Einige Bemerkungen zur Chronologie der Späten Römischen Kaiserzeit in Mitteleuropa. In: Godłowski, K., Madyda-Legutko, R. (eds.). *Probleme der relativen und absoluten Chronologie ab Latènezeit bis zum Frühmittelalter*. Kraków, S. 227-248.

Thomas, J. A., Temple, D. H., Klaus, H. D. 2019. Crypt Fenestration Enamel Defects and Early Life Stress: Contextual Explorations of Growth and Mortality in Colonial Peru. *American Journal of Physical Anthropology*, 168, 3, p. 582-594.

Thomas, S. 1960. Studien zu den germanischen Kämmen der Römischen Kaiserzeit. *Arbeits- und Forschungsberichte zur Sächsischen Bodendenkmalpflege*, 8, S. 54-120.

Ubelaker, D. H. 1978. *Human Skeletal Remains: Excavation, Analysis, Interpretation*. Chicago: Aldine.

Villotte, S., Knüsel, C. J. 2013. Understanding Enteseal Changes: Definition and Life Course Changes. *International Journal of Osteoarchaeology*, 23, 2: Special Issue: Enteseal Changes and Occupation: Technical and Theoretical Advances and Their Applications, p. 135-146.

Weaver, D. S. 1980. Sex Differences in the Ilium of a Known Sex and Age Sample of Fetal and Infant Skeletons. *American Journal of Physical Anthropology*, 52, 2, p. 191-195.

White, T. D., Folkens, P. A. 2005. *Human Bone Manual*. Elsevier, Academic Press.

REFERENCES

- Ambroz, A. K. 1966. *Fibuly yuga Europejskoj chasti SSSR*. Svod arheologicheskikh istochnikov, D 1-30. Moskva: Nauka.
- Vnukov, S. Yu. 2006. *Prichernomorskie amfory I v. do n. e. — II v. n. e. II: Petrografiya hronologiya problemy tvorovli*. Sankt Peterburg: Aletejya.
- Gej, O. A. 1993. Chernyahovskaya kul'tura. Hronologiya. In: Rybakov, B. A. (ed.). *Slavyane i ih sosedi v konce I tys. do n. e. — pervoj polovine I tys. n. e.* Moskva: Nauka, s. 146-155.
- Gopkalo, O. V. 2008. *Busy i podveski chernyahovskoj kultury*. Kiev: Korvin-Piotrovskij A. O.
- Didenko, S. V. 2018. *Antychnyi keramichniy import u cherniakhivskii kulturi na terytorii Ukrainy*. DySSERTACIIA k. i. n. Kyiv, IA NAN Ukrainy.
- Kozak, O. D. 2010. *Kyiany kniazhoi doby. Bioarkheolohichni studii*. Kyiv: Academperiodika.
- Kozak, O. D. 2016. Zemleroby u verkhiv'iakh Pivdennoho Buha (paleopatolohichne doslidzhennia mohyl'nyka bilia s.Lisovi Hrynivtsi). *Oium*, 5: Cherniakhivska kultura: do 85-richchia vid dnia narodzhennia I. S. Vynokura, s. 116-126
- Kozak, O. D. 2017. Antropolohichniy analiz inhumatsiinykh pokhovan na mohyl'nyku Viitenky, vidkrytykh u 2017 rotsi. In: Lyubichev, M. V., Filatov, D. A., Myzgin, K. V., Shul'tze, E., Varacheva, K. G., Rusnak, V. V. *Otchet o rabote Germano-Slavianskoj arheologicheskoi ekspedicii Harkovskogo natsional'nogo universiteta imeni V. N. Karazina v 2017 g.* NA IA NAN Ukrainy, f. 64, s. 208-221.
- Kozak, O. D., Schultz, M. 2007. Paleopatolohiia ta diahnostyka tsynhy (na antropolohichnykh materialakh z davoruskoho Kyieva). *Arkheolohiia*, 4, s. 60-69.
- Lyubichev, M. V. 2009. Pogrebenie s rimskim importom na mogil'nye chernyahovskoi kultury Vojtenki Vostochnaya Ukraina. *Ostrogothica. Arheologiya Czentralnoj i Vostochnoj Evropy pozdnerimskogo vremeni i Epohi Velikogo pereseleniya narodov*, s. 72-90.
- Lyubichev, M. V. 2019. *Rannyya istoriya dnepro-doneckoj lesostepi I—V vekov*. 1, 2. *Ostrogothica-Serie*, 2. Har'kov: Estet print.
- Mamchur, B., Kozak, O. 2020. Zubni zakhvoriuvannia ta markery stresu u meshkantsiv poselennia Viitenky. *Ostrogothica*, 3, s. 516-527.
- Petrauskas, O. V., 2004. Pokhovannia bahatoi divchynky na mohyl'nyku cherniakhivskoi kultury. In: Kozak, D. N. (ed.). *Arkheolohiia davnikh slov'ian. Doslidzhennia i materialy*. Kyiv: Korvin Press, s. 165-188.
- Rudych, T. O. 2004. Antropolohichne vyznachennia reshok skeletu z pokhovannia N 132. Dodatok. In: Petrauskas, O. V., 2004. Pokhovannia bahatoi divchynky na mohyl'nyku cherniakhivskoi kultury. In: Kozak, D. N. (ed.). *Arkheolohiia davnikh slov'ian. Doslidzhennia i materialy*. Kyiv: Korvin Press, s. 184.
- Schultz, M., Kozak, A. D. 2008. Morfologiya i klassifikaciya sledov meningialnykh reakcij na drevnih cherepakh (problemy diagnostiki na primere srednevekovykh populyacij Kyieva). *Opus: Mezhdisciplinarnye issledovaniya v arheologii*, 6, s. 276-299.
- Schultze, E., Lyubichev, M. V. 2018. Gruppa pogrebenij-inhumacij v severo-zapadnoj chasti mogil'nika chernyahovskoi kultury Vojtenki: voprosy hronologii. *Ostrogothica-Serie*, 3: Hronologiya i monetnye nahodki pozdnerimskogo vremeni i epohi Velikogo pereseleniya narodov. Aktual'nye arheologicheskie issledovaniya v Czentral'noj i Vostochnoj Evrope, s. 121-145.
- Arsen'eva, T., Kassab Tezgör, D., Naumenko, S. 1997. Un depotir d'atelier d'amphores a pate Claire. Commerce entre Heraclee du Pont et Tanais a l'epoque romaine. *Anatolia Antiqua*, V, p. 187-198.
- Baker, B. J., Dupras, T. L., Tocheri, M. W. 2005. *The Osteology of Infants and Children*. Texas: A&M University.
- Brickley, M., Ives, R. 2008. *The Bioarchaeology of Metabolic Bone Disease*. Amsterdam; London: Elsevier.
- Gavritukhin, I. 2002. On the study of double-plate fibulas of the first subgroup. *A nyiregyházi Jósza András Múzeum Évkönyve*, 44, p. 113-184.
- Gudkova, A. V., Schultze, E. 2017. *Gräberfeld und Siedlung Nagoroe 2. Ein Fundplatz des Šantana de Mureş—Černjachov-Kultur an der Unteren Donau*. Archäologie in Eurasien, 35. Bonn: Habelt.
- Kalnins, V. 1952. Developmental Disturbances of Enamel in Scurvy. *Journal of Dental Research*, 31, p. 440-452.
- Lewis, M. 2018. *Paleopathology of Children. Identification of Pathological Conditions in the Human Skeletal Remains of Non-Adults*. Elsevier, Academic Press.
- Loth, S. R., Henneberg, M. 2001. Sexually Dimorphic Mandibular Morphology in the First Few Years of Life. *American Journal of Physical Anthropology*, 115, 2, p. 179-186.
- Luna, L., Aranda, C., Santos, A. L. 2017. New Method for Sex Prediction Using the Human Non-Adult Auricular Surface of the Ilium in the Collection of Identified Skeletons of the University of Coimbra. *International Journal of Osteoarchaeology*, 27, 5, p. 898-911.
- Lyubichev, M. 2013. The secondary used artifact in grave 41 of the chernyahov cemetery of Voytenki. In: Khrapunov, I., Stylegar, F.-A. (ed.). *Inter ambo maria. Northern Barbarians from Scandinavia towards the Black sea*. Kristiansand; Simferopol, p. 236-248.
- Mittler, D., Sheridan, S. 1992. Sex Determination in Subadults Using Auricular Surface Morphology: a Forensic Science Perspective. *Journal of Forensic Sciences*, 37, 4, p. 1068-1075.
- Molleson, T., Cruse, K., Mays, S. 1998. Some Sexually Dimorphic Features of the Human Juvenile Skeleton and their Value in Sex Determination in Immature Juvenile Remains. *Journal of Archaeological Science*, 25, 8, p. 719-728.
- Ortner, D. J., Erickson, M. F. 1998. Bone Changes in the Human Skull probably Resulting from Scurvy in Infancy and Childhood. *International Journal of Osteoarchaeology*, 7, 3, p. 212-220.
- Reinman, A. S. 2015. *Sex Estimation in Subadult Skeletons: a Test of Eight Nonmetric Traits of the Mandible and Ilium*. Thesis Submitted to the Faculty of Dorothy F. Schmidt College of Arts and Letters In Partial Fulfillment of the Requirements for the Degree of Master of Arts. Florida Atlantic University Boca Raton.
- Schaefer, M., Black, S., Scheuer, L. 2008. *Juvenile Osteology: a Laboratory and Field Manual*. New York: Academic Press.
- Scheuer, L. 2002. Brief Communications: a Blind Test of Mandibular Morphology for Sexing Mandibles in the First Few Years of Life. *American Journal of Physical Anthropology*, 119, p. 189-191.
- Schultze, E., 2004. Zu den Kindergräbern im Bereich der Černjachov-Kultur. In: Kokowski, A. (ed.). *Europa Barbarica. Čwierć wieku archeologii w Masłomęczu IV*. Monumenta Studia Gothica. Lublin: UMCS, S. 415-425.
- Schultze, E., Lyubichev, M. V. 2017. A Cremation Grave of the Chernyahov Culture with Spurs and Knob Bow Fibula (Bügelknopffibel): Regional Context and Interregional Comparison. *Swiatowit*, Supplement Series C: Pontica et Caucasia, 1: The Crimea and the Northern Black Sea Coast in Archaeological Research 1956—2013, p. 277-294.
- Schutzowski, H. 1993. Sex Determination of Infant and Juvenile Skeletons: I. Morphognostic Features. *American Journal of Physical Anthropology*, 90, 2, p. 199-205.
- Skinner, M. F. 1986. An Enigmatic Hypoplastic Defect of the Deciduous Canine. *American Journal of Physical Anthropology*, 69, 1, p. 59-69.
- Skinner, M. F., Hung, J. T. W. 1989. Social and Biological Correlates of localized Enamel Hypoplasia of the Human Deciduous Canine Tooth. *American Journal of Physical Anthropology*, 79, 2, p. 159-175.
- Skinner, M., Newell, E. 2000. A Re-Evaluation of Localized Hypoplasia of the Primary Canine as a Marker of Craniofacial Osteopenia in European Upper Paleolithic Infants. *Acta Universitatis Carolinae Medica*, 41, p. 41-58.
- Skinner, M. F., Hadaway, W., Dickie, J. 1994. Effects of Ethnicity, Nutrition and Birth Month on Localized Enamel Hypoplasia of the Primary Canine. *ASDC Journal of Dentistry for Children*, 61, 2, p. 109-113.
- Tejral, J. 1992. Einige Bemerkungen zur Chronologie der Späten Römischen Kaiserzeit in Mitteleuropa. In: Godlowski, K., Madyda-Legutko, R. (eds.). *Probleme der relativen und absoluten Chronologie ab Latènezeit bis zum Frühmittelalter*. Kraków, S. 227-248.
- Thomas, J. A., Temple, D. H., Klaus, H. D. 2019. Crypt Fenestration Enamel Defects and Early Life Stress: Context-

tual Explorations of Growth and Mortality in Colonial Peru. *American Journal of Physical Anthropology*, 168, 3, p. 582-594.

Thomas, S. 1960. Studien zu den germanischen Kämmer der Römischen Kaiserzeit. *Arbeits- und Forschungsberichte zur Sächsischen Bodendenkmalpflege*, 8, S. 54-120.

Ubelaker, D. H. 1978. *Human Skeletal Remains: Excavation, Analysis, Interpretation*. Chicago: Aldine.

Villotte, S., Knüsel, C. J. 2013. Understanding Enteseal Changes: Definition and Life Course Changes. *International Journal of Osteoarchaeology*, 23, 2: Special Issue: Enteseal Changes and Occupation: Technical and Theoretical Advances and Their Applications, p. 135-146.

Weaver, D. S. 1980. Sex Differences in the Iliac of a Known Sex and Age Sample of Fetal and Infant Skeletons. *American Journal of Physical Anthropology*, 52, 2, p. 191-195.

White, T. D., Folkens, P. A. 2005. *Human Bone Manual*. Elsevier, Academic Press.

*E. Schultze,
M. V. Lyubichev, A. D. Kozak*

CHILDREN'S GRAVE AT THE CEMETERY OF THE CHERNYAKHIV CULTURE VOYTENKI

The children's graves at the cemeteries of the Chernyakhiv / Sintana de Mureş culture are the relevant problem for the archaeology of the period. Children's burials at the cemeteries of this culture have been the subject of special study for more than fifteen years. At the cemetery Voytenki 15 graves of children of various ages were discovered (graves 6, 34, 50, 72, 79, 85, 94, 97, 99, 103, 126, 217, 218, 220, 231). Their analysis is envisaged within the framework of the project on the reconstruction of the social structure of the population of the Chernyakhiv culture on the basis of the cemetery Voytenki.

The publication of materials from grave 231 of the cemetery Voytenki includes archaeological and anthropological analysis. Inventory features of the complex allow determination of the social status of the child and his family.

The burial's inventory includes 24 vessels. A specific feature of this complex is the presence of an amphora. The burial belongs to the phase «C» after the relative chronology of the «classical» Chernyakhiv culture horizon in the Dnepr-Donetsk forest-steppe (after M. Lyubichev). This correlates with stages C3, C3/D1 by J. Tejral, and in absolute dates can be attributed to the third quarter of the 4th century.

The age of the child determined as (1.5) 2—2.5 years. Pathological lesions on the skeleton diagnosed as traces of scurvy, probably anemia, and viral or bacterial meningitis. Their presence permits raise the question of adaptation of the children of particular social class to their living conditions. Presumably, some adults of this social stratum belonged to the mobile part of the population or were in close contact with migrants. Migrations could be seen as one of the reasons, led to the emergence of new infections, which primarily affected children.

The grave with the amphora testifies to the strong economic position of the family, whose child was buried. This family probably participated in an interregional exchange.

Keywords: Late Roman Period, Chernyakhiv Culture, children's grave, anthropological research, pathological signs.

Е. Шульце, М. В. Любічев, О. Д. Козак

ДИТЯЧЕ ПОХОВАННЯ НА МОГИЛЬНИКУ ЧЕРНЯХІВСЬКОЇ КУЛЬТУРИ ВОЙТЕНКИ

Дитячі поховання на могильниках культури Черняхів / Синтана-де-Муреш є актуальною проблемою у археології та антропології. Дитячі поховання на могильниках цієї культури вже понад п'ятнадцять років є предметом спеціального вивчення. На могильнику Войтенки відкрито 15 поховань дітей різного віку (поховання 6, 34, 50, 72, 79, 85, 94, 97, 99, 103, 126, 217, 218, 220, 231). Їх аналіз передбачено у межах проекту з реконструкції соціальної структури носіїв черняхівської культури могильника Войтенки. Публікація матеріалів поховання 231 могильника Войтенки включає археологічний та антропологічний аналіз. Особливості інвентаря, які формують комплекс дозволяють визначити соціальний стан дитини та її родини.

Інвентар поховання включає 24 посудини. Особливістю цього керамічного комплексу є наявність амфори. Поховання відноситься до фази «С» відносно хронології горизонту «класичної» черняхівської культури у дніпро-донецькому лісостепу (за М. Любічевим), яка співвідноситься із ступенями С3, С3/Д1 Я. Тейрала. В абсолютних датах поховання може бути датоване періодом до третьої чверті IV ст.

Вік дитини визначено як (1,5) 2—2,5 роки. Патологічні ознаки на скелеті діагностовані як наслідки цинги, імовірно анемії та вірусного або бактеріального менінгіту. Їх присутність в цьому похованні дозволяє поставити питання про адаптацію дітей певного соціального класу до умов життя. Допускається, що дорослі представники визначеного соціального стратуму входили до мобільної частини популяції або ж знаходились у тісному контакті з мігрантами. Міграції можуть бути розглянуті як одна з причин появи нових інфекцій, від яких в першу чергу страждали діти. Поховання з амфорою свідчить про міцні господарські позиції родини, дитина якої була похована. Ця родина імовірно приймала участь у міжрегіональному обміні.

Ключові слова: пізньоримський час, черняхівська культура, дитяче поховання, антропологічне дослідження, патологічні ознаки.

Одержано 7.06.2020

КОЗАК Олександра Деонізіївна, кандидат історичних наук, старший науковий співробітник, Інститут археології НАН України, пр-т Героїв Сталінграду, 12, Київ, 04210, Україна.

KOZAK Oleksandra, Candidate of Historical Sciences, Senior Research Fellow, the Institute of Archaeology, the National Academy of Sciences of Ukraine, Heroiv Stalinhradu ave., 12, Kyiv, 04210, Ukraine.

ORCID: 0000-0003-2094-4490, e-mail: akozak26@ukr.net.

ЛЮБИЧЕВ Михайло Васильович, доктор історичних наук, професор, Харківський національний університет імені В. Н. Каразіна, пл. Свободи, 4, Харків, 61022, Україна.

LYUBICHEV Mikhailo V., D. habil., professor, Kharkiv National V.N.Karazin-University, Svobody Square, 6, Kharkiv, 61022, Ukraine.

E-mail: gsae@karazin.ua.

ШУЛЬЦЕ Ермуте, доктор, науковий співробітник, Германський археологічний інститут, Im Dol, 2—6, Berlin, 14195, Німеччина.

SCHULTZE Erdmute, Dr. Ph. Senior Researcher, German Archaeological Institute, Im Dol, 2—6, Berlin, 14195, Germany.

E-mail: Erdmute.Schultze@dainst.de.